

С. А. Ямашкин, Н. В. Жукова, И. С. Романова

**СИНТЕЗ ЗАМЕЩЕННЫХ ПИРРОЛО[3,2-*f*]ХИНОЛИНОВ
ИЗ 5-АМИНОИНДОЛОВ И ЩАВЕЛЕВОУКСУСНОГО ЭФИРА**

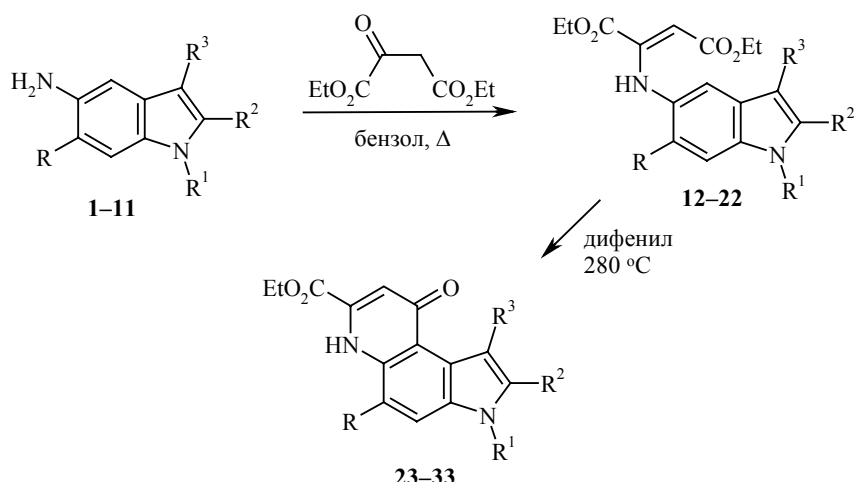
Изучены реакции ряда замещенных 5-аминоиндололов с щавелевоуксусным эфиром. Разработаны способы синтеза и получена серия индолил-5-аминопроизводных диэтилового эфира фумаровой кислоты, а также 7-этоксикарбонил-6,9-дигидро-3Н-пирроло[3,2-*f*]-хинолин-9-оны.

Ключевые слова: индолил-5-аминопроизводные диэтилового эфира фумаровой кислоты, замещенные 5-аминоиндолы, щавелевоуксусный эфир, 7-этоксикарбонил-6,9-дигидро-3Н-пирроло[3,2-*f*]хинолин-9-оны.

Замещенные аминоиндолы (аминогруппа в бензольной части молекулы) служат синтонами при получении пирролохинолинов [1], соединений с потенциальной биологической активностью. Так, обнаружено природное соединение – витамин (метокватин) группы В, имеющее пирролохинолиновую структуру (PQQ – 2,7,9-трикарбокси-1Н-пирроло-[2,3-*f*]хинолин-4,5-дион), которое в живых системах играет роль кофактора в окислительно-восстановительных ферментативных процессах [2].

В связи с этим мы продолжили поиск удобных способов получения пирролохинолинов, структурных аналогов PQQ, с γ -хинолоновым фрагментом, содержащим этоксикарбонильную группу. С этой целью мы изучили реакцию замещенных 5-аминоиндололов с щавелевоуксусным эфиром. На начальной стадии конденсации аминов с кетоэфиром можно было ожидать образования двух разных амидов и енамина за счет наличия в эфире трех реакционных центров. В случае аминоиндололов со свободным положением 3 не исключалась также возможность атаки по β -положению индольного ядра. Однако мы установили, что аминоиндолы 1–11 и щавелевоуксусный эфир при кипячении в бензоле образуют соответствующие енамины 12–22 (производные диэтилового эфира 5-аминоиндолил-фумаровой кислоты, также интересные с точки зрения физиологической активности), т. е. в этих условиях взаимодействие аминов с кетоэфиром реализуется за счет карбонильной группы.

В спектрах ЯМР ^1H соединений 12–22 (табл. 1) проявляются сигналы протонов двух неэквивалентных этоксикарбонильных групп, различие в химических сдвигах (~ 0.2 м. д.) сигналов протонов которых, по-видимому, связано с Z-конфигурацией енамина, при которой одна из этоксикарбонильных групп хелатируется с атомом водорода аминогруппы.



1, 12, 23 R = R² = R³ = Me, R¹ = H; **2, 13, 24** R = R¹ = R² = R³ = Me; **3, 14, 25** R = Me, R¹ = R³ = H, R² = Ph; **4, 15, 26** R = R¹ = Me, R² = Ph, R³ = H; **5, 16, 27** R = OMe, R¹ = H, R² = R³ = Me; **6, 17, 28** R = R¹ = R³ = H, R² = Me; **7, 18, 29** R = R³ = H, R¹ = R² = Me; **8, 19, 30** R = R¹ = Me, R² = Ph, R³ = H; **9, 20, 31** R = R³ = H, R¹ = Me, R² = Ph; **10, 21, 32** R = R¹ = H, R² = R³ = Me; **11, 22, 33** R = H, R¹ = R² = R³ = Me

Енаминное строение соединений **12–22** подтверждает наличие в спектрах ЯМР ¹H сигналов протонов Н вин. (5.03–5.10) и NH амин. в области 9.50–9.70 м. д.

ИК спектры всех полученных енаминов **12–22** (табл. 2) практически идентичны: содержат интенсивные полосы валентных колебаний в области 1600–1605, 1644–1668, 1712–1725 см⁻¹. Эти данные также подтверждают Z-конфигурацию енаминной цепи. Более длинноволновую полосу 1712–1725, по-видимому, следует отнести к валентным колебаниям свободной, сопряженной с двойной связью, этоксикарбонильной группы, а полосу в области 1644–1668 см⁻¹ – к хелатированной этоксикарбонильной группе. Полоса при 1600–1605 см⁻¹ отвечает валентным колебаниям енаминной двойной связи, сопряженной с ароматической системой. Об одинаковом строении соединений **12–22** свидетельствуют и УФ спектры. Масс-спектральный распад енаминов **12–22** подчиняется единой схеме: [M–73]⁺ (Φ_1) – элиминирование CO₂Et, [M–74]⁺ (Φ_2) – элиминирование либо водорода от Φ_1 , либо HCO₂Et от молекулярного иона, [M–119]⁺ (Φ_3) – элиминирование OEt от Φ_2 , [M–147]⁺ (Φ_4) – элиминирование CO от Φ_3 , что подтверждает наличие в исследуемых соединениях двух этоксикарбонильных групп. Ион Φ_5 , по-видимому, образуется за счет циклизации енамина в условиях регистрации масс-спектра.

Далее изучено поведение полученных производных диэтилового эфира 5-аминоиндолилфумаровой кислоты **12–22** в термических условиях. При этом из енамина **12** после 20 мин нагревания в дифениле при 280 °C получено соединение, которому, согласно спектральным данным, приписана структура **23**. В спектре ЯМР ¹H соединения **23** (табл. 1)

Т а б л и ц а 1
Спектры ЯМР ^1H соединений 12–33

Соединение	Химические сдвиги, δ , м. д. (J , Гц)
1	2
12	0.90 (3H, т, $J = 7$, CO ₂ CH ₂ CH ₃); 1.22 (3H, т, $J = 7$, CO ₂ CH ₂ CH ₃); 2.04 (3H, с, 3-CH ₃); 2.27 (3H, с, 2-CH ₃); 2.30 (3H, с, 6-CH ₃); 3.98 (2H, к, $J = 7$, CO ₂ CH ₂ CH ₃ хелат.); 4.14 (2H, к, $J = 7$, CO ₂ CH ₂ CH ₃); 5.03 (1H, с, Н вин.); 6.78 (1H, с, H-4); 7.08 (1H, с, H-7); 9.50 (1H, с, N-Н амин.); 10.56 (1H, с, H-1)
13	0.91 (3H, т, $J = 7$, CO ₂ CH ₂ CH ₃ хелат.); 1.22 (3H, т, $J = 7$, COO ₂ -CH ₂ -CH ₃); 2.09 (3H, с, 3-CH ₃); 2.28 (3H, с, 2-CH ₃); 2.35 (3H, с, 6-CH ₃); 3.60 (3H, с, 1-CH ₃); 3.98 (2H, к, $J = 7$, CO ₂ CH ₂ CH ₃ хелат.); 4.14 (2H, к, $J = 7$, CO ₂ CH ₂ CH ₃); 5.05 (1H, с, Н вин.); 6.82 (1H, с, H-4); 7.21 (1H, с, H-7); 9.53 (1H, с, N-Н амин.)
14	0.89 (3H, т, $J = 7$, CO ₂ CH ₂ CH ₃); 1.24 (3H, т, $J = 7$, CO ₂ CH ₂ CH ₃); 2.35 (3H, с, 6-CH ₃); 3.98 (2H, к, $J = 7$, CO ₂ CH ₂ CH ₃ хелат.); 4.15 (2H, к, $J = 7$, CO ₂ CH ₂ CH ₃); 5.08 (1H, с, Н вин.); 6.82 (1H, с, H-3); 6.98 (1H, с, H-4); 7.26 (1H, с, H-7); 7.31 (1H, т, $J = 7$, H- <i>p</i> -C ₆ H ₅); 7.45 (2H, т, $J = 7$, H- <i>m</i> -C ₆ H ₅); 7.83 (2H, д, $J = 7$, H- <i>o</i> -C ₆ H ₅); 9.52 (1H, с, N-Н амин.); 11.45 (1H, с, H-1)
15	0.92 (3H, т, $J = 7$, CO ₂ CH ₂ CH ₃ хелат.); 1.23 (3H, т, $J = 7$, CO ₂ CH ₂ CH ₃); 2.40 (3H, с, 6-CH ₃); 3.72 (3H, с, 1-CH ₃); 4.00 (2H, к, $J = 7$, CO ₂ CH ₂ CH ₃ хелат.); 4.14 (2H, к, $J = 7$, CO ₂ CH ₂ CH ₃); 5.10 (1H, с, Н вин.); 6.47 (1H, с, H-3); 7.00 (1H, с, H-4); 7.40 (1H, с, H-7); 7.44 (1H, т, $J = 7$, H- <i>p</i> -C ₆ H ₅); 7.50 (2H, т, $J = 7$, H- <i>m</i> -C ₆ H ₅); 7.57 (2H, д, $J = 7$, H- <i>o</i> -C ₆ H ₅); 9.53 (1H, с, N-Н амин.)
16	1.04 (3H, т, $J = 7$, CO ₂ CH ₂ CH ₃ хелат.); 1.22 (3H, т, $J = 7$, CO ₂ CH ₂ CH ₃); 2.04 (3H, с, 3-CH ₃); 2.25 (3H, с, 2-CH ₃); 3.78 (3H, с, 6-OCH ₃); 4.11 (2H, к, $J = 7$, CO ₂ CH ₂ CH ₃ хелат.); 4.14 (2H, к, $J = 7$, CO ₂ CH ₂ CH ₃); 5.05 (1H, с, Н вин.); 6.79 (1H, с, H-4); 6.81 (1H, с, H-7); 9.67 (1H, с, N-Н амин.); 10.50 (1H, с, H-1)
17	0.97 (3H, т, $J = 7$, CO ₂ CH ₂ CH ₃ хелат.); 1.22 (3H, т, $J = 7$, CO ₂ CH ₂ CH ₃); 2.35 (3H, с, 2-CH ₃); 4.02 (2H, к, $J = 7$, CO ₂ CH ₂ CH ₃ хелат.); 4.14 (2H, к, $J = 7$, CO ₂ CH ₂ CH ₃); 5.03 (1H, с, Н вин.); 6.07 (1H, с, H-3); 6.69 (1H, д, $J = 8$, H-6); 7.00 (1H, с, H-4); 7.20 (1H, д, $J = 8$, H-7); 9.68 (1H, с, N-Н амин.); 10.94 (1H, с, H-1)
18	0.96 (3H, т, $J = 7$, CO ₂ CH ₂ CH ₃ хелат.); 1.23 (3H, т, $J = 7$, CO ₂ CH ₂ CH ₃); 2.47 (3H, с, 2-CH ₃); 3.64 (3H, с, 1-CH ₃); 4.04 (2H, к, $J = 7$, CO ₂ CH ₂ CH ₃ хелат.); 4.13 (2H, к, $J = 7$, CO ₂ CH ₂ CH ₃); 5.05 (1H, с, Н вин.); 6.15 (1H, с, H-3); 6.76 (1H, д, $J = 8$, H-6); 7.00 (1H, с, H-4); 7.31 (1H, д, $J = 8$, H-7); 9.68 (1H, с, N-Н амин.)
19	0.96 (3H, т, $J = 7$, CO ₂ CH ₂ CH ₃ хелат.); 1.24 (3H, т, $J = 7$, CO ₂ CH ₂ CH ₃); 4.06 (2H, к, $J = 7$, CO ₂ CH ₂ CH ₃ хелат.); 4.14 (2H, к, $J = 7$, CO ₂ CH ₂ CH ₃); 5.09 (1H, с, Н вин.); 6.82 (1H, д, $J = 8$, H-6); 6.85 (1H, с, H-3); 7.12 (1H, с, H-4); 7.32 (1H, т, $J = 8$, H- <i>p</i> -C ₆ H ₅); 7.34 (1H, д, $J = 8$, H-7); 7.47 (2H, т, $J = 8$, H- <i>m</i> -C ₆ H ₅); 7.86 (2H, д, $J = 8$, H- <i>o</i> -C ₆ H ₅); 9.70 (1H, с, N-Н амин.); 11.59 (1H, с, H-1)
20	1.00 (3H, т, $J = 7$, CO ₂ CH ₂ CH ₃ хелат.); 1.22 (3H, т, $J = 7$, CO ₂ CH ₂ CH ₃); 3.72 (3H, с, 1-CH ₃); 4.07 (2H, к, $J = 7$, CO ₂ CH ₂ CH ₃ хелат.); 4.14 (2H, к, $J = 7$, CO ₂ CH ₂ CH ₃); 5.10 (1H, с, Н вин.); 6.52 (1H, с, H-4); 6.89 (1H, д, $J = 7$, H-6); 7.15 (1H, с, H-3); 7.44 (1H, т, $J = 7$, H- <i>p</i> -C ₆ H ₅); 7.45 (1H, д, $J = 7$, H-7); 7.52 (2H, т, $J = 7$, H- <i>m</i> -C ₆ H ₅); 7.59 (2H, д, $J = 7$, H- <i>o</i> -C ₆ H ₅); 9.72 (1H, с, N-Н амин.)
21	0.96 (3H, т, $J = 7$, CO ₂ CH ₂ CH ₃ хелат.); 1.24 (3H, т, $J = 7$, CO ₂ CH ₂ CH ₃); 2.09 (3H, с, 3-CH ₃); 2.29 (3H, с, 2-CH ₃); 4.04 (2H, к, $J = 7$, CO ₂ CH ₂ CH ₃ хелат.); 4.12 (2H, к, $J = 7$, CO ₂ CH ₂ CH ₃); 5.04 (1H, с, Н вин.); 6.69 (1H, д, $J = 8$, H-6); 6.93 (1H, с, H-4); 7.15 (1H, д, $J = 8$, H-7); 9.70 (1H, с, N-Н амин.); 10.70 (1H, с, H-1)

О кончание таблицы 1

1	2
22	0.98 (3H, т, $J = 7$, CO ₂ CH ₂ CH ₃ , хелат.); 1.23 (3H, т, $J = 7$, CO ₂ CH ₂ CH ₃); 2.13 (3H, с, 3-CH ₃); 2.30 (3H, с, 2-CH ₃); 3.62 (3H, с, 1-CH ₃); 4.05 (2H, к, $J = 7$, CO ₂ CH ₂ CH ₃ хелат.); 4.14 (2H, к, $J = 7$, CO ₂ CH ₂ CH ₃); 5.05 (1H, с, Н вин.); 6.75 (1H, д, $J = 8.5$, H-6); 6.98 (1H, с, H-4); 7.29 (1H, д, $J = 8.5$, H-7); 9.72 (1H, с, N-H амин.)
23	1.35 (3H, т, $J = 7$, 7-CO ₂ CH ₂ CH ₃); 2.35 (3H, с, 2-CH ₃); 2.59 (3H, с, 5-CH ₃); 2.68 (3H, с, 1-CH ₃); 4.36 (2H, к, $J = 7$, 7-CO ₂ CH ₂ CH ₃); 7.53 (1H, с, H-8); 7.60 (1H, с, H-4); 11.19 (1H, с, H-6); 11.30 (1H, с, H-3)
24	1.37 (3H, т, $J = 7$, 7-CO ₂ CH ₂ CH ₃); 2.36 (3H, с, 2-CH ₃); 2.55 (3H, с, 5-CH ₃); 2.74 (3H, с, 1-CH ₃); 3.75 (3H, с, 3-CH ₃); 4.46 (2H, к, $J = 7$, 7-CO ₂ CH ₂ CH ₃); 7.55 (1H, с, H-8); 7.80 (1H, с, H-4); 11.22 (1H, с, H-6)
25	1.39 (3H, т, $J = 7$, 7-CO ₂ CH ₂ CH ₃); 2.77 (3H, с, 5-CH ₃); 4.39 (2H, к, $J = 7$, 7-CO ₂ CH ₂ CH ₃); 7.32 (1H, т, $J = 8$, H- <i>p</i> -C ₆ H ₅); 7.48 (2H, т, $J = 8$, H- <i>m</i> -C ₆ H ₅); 7.65 (1H, с, H-8); 7.67 (1H, с, H-1); 7.75 (1H, с, H-4); 7.90 (2H, д, $J = 8$, H- <i>o</i> -C ₆ H ₅); 11.52 (1H, с, H-6); 12.05 (1H, с, H-3)
26	1.38 (3H, т, $J = 7$, 7-CO ₂ CH ₂ CH ₃); 2.80 (3H, с, 5-CH ₃); 3.89 (3H, с, 3-CH ₃); 4.39 (2H, к, $J = 7$, 7-CO ₂ CH ₂ CH ₃); 7.37 (1H, с, H-8); 7.44 (1H, т, $J = 7$, H- <i>p</i> -C ₆ H ₅); 7.54 (2H, т, H- <i>m</i> -C ₆ H ₅); 7.63 (1H, с, H-1); 7.64 (2H, д, $J = 8$, H- <i>o</i> -C ₆ H ₅); 7.94 (1H, с, H-4); 11.51 (1H, с, H-6)
27	1.30 (3H, т, $J = 7$, 7-CO ₂ CH ₂ CH ₃); 2.37 (3H, с, 2-CH ₃); 2.55 (3H, с, 1-CH ₃); 4.08 (3H, с, 5-OCH ₃); 4.46 (2H, к, $J = 7$, 7-CO ₂ CH ₂ CH ₃); 7.04 (1H, с, H-8); 7.40 (1H, с, H-4); 11.41 (1H, с, H-3)
28	1.38 (3H, т, $J = 7$, 7-CO ₂ CH ₂ CH ₃); 2.46 (3H, с, 2-CH ₃); 4.41 (2H, к, $J = 7$, 7-CO ₂ CH ₂ CH ₃); 6.66 (1H, с, H-8); 7.25 (1H, с, H-1); 7.60 (1H, д, $J = 8$, H-5); 7.68 (1H, д, $J = 8$, H-4); 11.44 (1H, с, H-6); 11.90 (1H, с, H-3)
29	1.39 (3H, т, $J = 7$, 7-CO ₂ CH ₂ CH ₃); 2.46 (3H, с, 2-CH ₃); 3.76 (3H, с, 3-CH ₃); 4.40 (2H, к, $J = 7$, 7-CO ₂ CH ₂ CH ₃); 6.67 (1H, с, H-8); 7.35 (1H, с, H-1); 7.67 (1H, д, $J = 8$, H-5); 7.85 (1H, д, $J = 8$, H-4); 11.90 (1H, с, H-6)
30	1.39 (3H, т, $J = 7$, 7-CO ₂ CH ₂ CH ₃); 4.42 (2H, к, $J = 7$, 7-CO ₂ CH ₂ CH ₃); 6.72 (1H, с, H-8); 7.34 (1H, т, $J = 7.5$, H- <i>p</i> -C ₆ H ₅); 7.50 (2H, т, $J = 7.5$, H- <i>m</i> -C ₆ H ₅); 7.75 (1H, д, $J = 8$, H-5); 7.82 (1H, д, $J = 8$, H-4); 7.90 (2H, д, $J = 7.5$, H- <i>o</i> -C ₆ H ₅); 7.98 (1H, с, H-1); 12.04 (1H, с, H-6); 12.10 (1H, с, H-3)
31	1.39 (3H, т, $J = 7$, 7-CO ₂ CH ₂ CH ₃); 3.87 (3H, с, 1-CH ₃); 4.45 (2H, к, $J = 7$, 7-CO ₂ CH ₂ CH ₃); 6.72 (1H, с, H-8); 7.46 (1H, т, $J = 7.5$, H- <i>p</i> -C ₆ H ₅); 7.56 (2H, т, $J = 7.5$, H- <i>m</i> -C ₆ H ₅); 7.65 (2H, д, $J = 7.5$, H- <i>o</i> -C ₆ H ₅); 7.70 (1H, с, H-1); 7.80 (1H, д, $J = 8$, H-5); 8.00 (1H, д, $J = 8$, H-4); 12.05 (1H, с, H-6)
32	1.37 (3H, т, $J = 7$, 7-CO ₂ CH ₂ CH ₃); 2.32 (3H, с, 2-CH ₃); 2.61 (3H, с, 1-CH ₃); 4.40 (2H, к, $J = 7$, 7-CO ₂ CH ₂ CH ₃); 6.59 (1H, с, H-8); 7.58 (1H, д, $J = 8$, H-5); 7.60 (1H, д, $J = 8$, H-4); 11.28 (1H, с, H-3); 11.68 (1H, с, H-6)
33	1.38 (3H, т, $J = 7$, 7-CO ₂ CH ₂ CH ₃); 2.39 (3H, с, 2-CH ₃); 2.68 (3H, с, 1-CH ₃); 3.73 (3H, с, 3-CH ₃); 4.42 (2H, к, $J = 7$, CO ₂ CH ₂ CH ₃); 6.60 (1H, с, H-8); 7.61 (1H, д, $J = 8$, H-5); 7.69 (1H, д, $J = 8$, H-4); 11.55 (1H, с, H-6)

имеются сигналы протонов этоксикарбонильной группы, синглетные сигналы протонов трех метильных групп 1-, 2-, 5-Ме и четырех протонов Н-3,4,6,8. Аналогично в результате термолиза соединений **13–16** выделены этоксикарбонилпирролохинолины **24–28**. Следует отметить, что соединение **28** образуется при более длительном нагревании (30 мин) и с

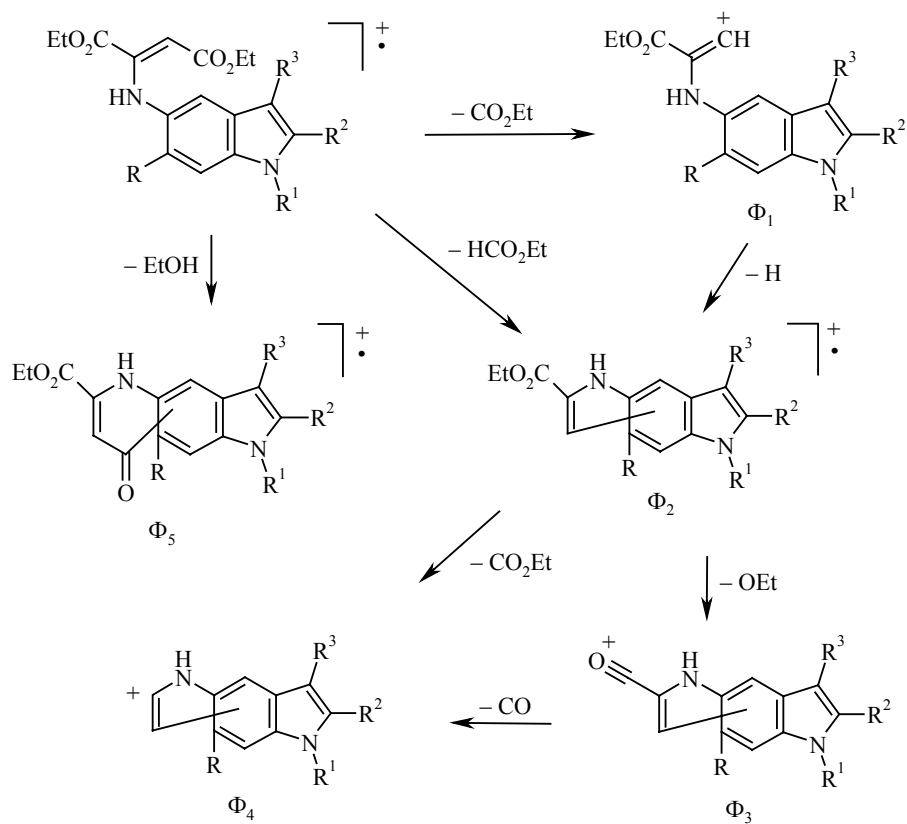
Таблица 2

Спектральные характеристики соединений 12–33

Соединение	ИК спектр, см ⁻¹	УФ спектр		Масс-спектр, <i>m/z</i> (<i>I_{отн.}</i> , %)
		λ_{\max} , нм	$\lg \epsilon$	
1	2	3	4	5
12	1605, 1661, 1713	205	4.38	344 [M] ⁺ (85), 298 (15), 272 (15), 271 (73), 270 (31), 242 (10), 225 (62), 224 (50), 198 (38), 197 (100), 196 (25), 195 (26), 182 (25), 158 (30), 115 (18)
		235	4.36	
		305	4.27	
		340 пл.	4.07	
13	1605, 1664, 1734	205	4.30	358 [M] ⁺ (50), 312 (11), 285 (50), 284 (22), 239 (60), 238 (46), 212 (44), 211 (100), 210 (25), 196 (35), 195 (40), 172 (50), 156 (30), 128 (30), 115 (30)
		235	4.29	
		300	4.19	
		330 пл.	4.07	
14	1603, 1668, 1718	210	4.39	392 [M] ⁺ (70), 346 (15), 320 (15), 319 (63), 318 (25), 290 (10), 273 (60), 272 (40), 246 (39), 245 (100), 244 (30), 206 (29)
		230	4.27	
		327	4.46	
15	1603, 1666, 1732	205	4.47	406 [M] ⁺ (100), 360 (13), 333 (95), 332 (25), 288 (20), 287 (74), 286 (42), 260 (40), 259 (100), 244 (24), 220 (45), 144 (47)
		225	4.46	
		310	4.49	
16	1605, 1654, 1713	210	4.19	360 [M] ⁺ (100), 314 (24), 287 (39), 286 (83), 271 (25), 258 (14), 241 (86), 226 (30), 224 (30), 214 (37), 199 (60) 160 (24), 143 (43), 130 (50), 113 (40), 77 (40)
		235	4.18	
		305	3.92	
		340 пл.	3.94	
17	1605, 1667, 1717	202	4.47	316 [M] ⁺ (24), 270 (5), 243 (14), 242 (28), 197 (100), 170 (50), 169 (60), 145 (17), 131 (32), 130 (53), 103 (35), 77 (28)
		290	4.13	
		330	4.12	
18	1597, 1655, 1744	215	4.29	330 [M] ⁺ (58), 284 (5), 257 (25), 256 (53), 228 (20), 212 (25), 211 (100), 200 (20), 182 (45), 183 (63), 144 (40), 115 (40), 105 (15), 91 (15), 77 (15)
		295	4.11	
		330	4.10	
19	1601, 1644, 1725	210	4.39	378 [M] ⁺ (95), 332 (10), 305 (50), 304 (56), 276 (21), 260 (26), 259 (100), 258 (22), 248 (18), 232 (57), 231 (57), 192 (38), 165 (30), 129 (15)
		235	4.33	
		327	4.47	
20	1607, 1661, 1732	205	4.42	392 [M] ⁺ (86), 346 (5), 319 (50), 318 (49), 290 (20), 274 (32), 273 (100), 262 (20), 246 (52), 245 (62), 206 (45), 204 (40), 136 (50), 77 (15)
		230	4.45	
		310	4.44	
21	1605, 1663, 1713	205	4.31	330 [M] ⁺ (100), 284 (10), 257 (42), 256 (60), 228 (20), 211 (85), 210 (20), 200 (20), 144 (30), 143 (29), 115 (20)
		235	4.30	
		295	4.15	
		340 пл.	4.09	
22	1601, 1655, 1745	205	4.30	344 [M] ⁺ (34), 298 (5), 271 (25), 270 (48), 255 (10), 242 (18), 226 (25), 225 (100), 224 (20), 214 (25), 158 (70), 115 (55), 91 (30), 77 (25)
		240	4.27	
		305	4.15	
		340 пл.	4.06	

Окончание таблицы 2

1	2	3	4	5
23	1552, 1587, 1628, 1726	225	4.35	298 [M] ⁺ (70), 225 (25), 224 (100),
		270	4.11	223 (35), 209 (14), 194 (22), 195 (25)
		325	4.07	
		375	3.71	
24	1526, 1610, 1624, 1718	230	4.58	312 [M] ⁺ (70), 268 (25), 239 (48), 238
		275	4.29	(100), 223 (32), 209 (15)
		325	4.25	
		370	4.01	
25	1544, 1610, 1621, 1718	205	4.38	346 [M] ⁺ (70), 273 (30), 272 (100),
		230	4.29	271 (31), 245 (31), 244 (82), 243 (45),
		275	4.17	242 (30), 154 (40)
		335	4.31	
26	1583, 1620, 1722	225	4.52	360 [M] ⁺ (100), 287 (25), 286 (96),
		275	4.36	258 (30)
		325	4.40	
		360	4.13	
27	1592, 1627, 1729	215	4.36	314 [M] ⁺ (90), 299 (76), 239 (25), 225
		260	4.14	(30), 64 (95), 48 (100)
		335	4.06	
		380 пл.	3.67	
28	1616, 1639, 1716	220	4.45	270 [M] ⁺ (35), 197 (20), 196 (100),
		270	4.26	169 (15), 168 (30), 142 (40), 141 (45),
		315	4.20	115 (10), 44(20)
		360	3.89	
29	1608, 1707, 1726	225	4.39	284 [M] ⁺ (58), 211 (20), 210 (100),
		270	4.17	182 (15), 181 (20), 156 (20), 155 (22)
		315	4.08	
		355	3.88	
30	1542, 1615, 1718	210	4.30	332 [M] ⁺ (60), 259 (20), 258 (100),
		240	4.26	230 (20), 229 (25), 205 (20), 204 (20)
		275	4.12	
		330	4.28	
31	1520, 1606, 1728	225	4.33	346 [M] ⁺ (100), 273 (20), 272 (80),
		275	4.14	243 (20), 217 (20)
		320	4.17	
		360 пл.	3.92	
32	1589, 1614, 1715	228	4.12	284 [M] ⁺ (85), 256 (5), 211 (24), 210
		270	3.91	(100), 194 (17), 193 (20), 181 (15),
		320	3.83	156 (22)
		370	3.63	
33	1567, 1617, 1706	230	4.36	298 [M] ⁺ (100), 283 (13), 225 (25),
		275	4.13	224 (85), 223 (39), 209 (33), 207 (30),
		320	4.09	170 (15)
		365	3.87	



меньшим выходом из-за осмоляния. В случае этого енамина, по-видимому, на процесс циклизации оказывает дезактивирующее влияние 6-метоксигруппа. Об этом сообщалось ранее при изучении реакций 5-амино-6-метоксииндолов с другими дикарбонильными соединениями [3].

При проведении циклизации енаминов **17–22** с двумя свободными *ортото*-положениями (4 и 6) в бензольном кольце индола не исключалась возможность образования пирролохинолинов как с угловым, так и с линейным сочленением колец, в зависимости от наличия заместителя (Me) в положении 3 пиррольного кольца. Однако в спектрах ЯМР ^1H всех полученных соединений **29–33** проявляются два дублета протонов H-4,5, характерных для АВ системы бензольного кольца, что подтверждает их угловое строение. Помимо этого в УФ спектрах пирролохинолинов **24–28** и **29–33** обнаруживаются одинаковые закономерности, а именно: наличие трех максимумов поглощения ~ 240 , ~ 270 , ~ 330 нм, причем коротковолновый максимум для всех пирролохинолинов интенсивнее полосы поглощения при ~ 270 нм, что, по данным [4], характерно для такого типа угловых пирролохинолинов.

В масс-спектрах всех полученных пирролохинолинов **23–33** максимально интенсивным является пик иона $[\text{M}-74]^+$ (100%), образующийся либо вследствие элиминирования этоксикарбонильного радикала и далее водорода, либо этилформиата. У единственного пирролохинолина **27** на направление масс-спектрального распада накладывает отпечаток наличие группы OMe.

Таблица 3

Физико-химические характеристики соединений 12–33

Соединение	Брутто-формула	Найдено			R_f *	Т. пл., °C**	Выход, %
		Вычислено	C, %	H, %			
12	C ₁₉ H ₂₄ N ₂ O ₄	66.17 66.26	7.09 7.02	344 344	0.61	147	62
13	C ₂₀ H ₂₆ N ₂ O ₄	66.90 67.02	7.42 7.31	358 358	0.60	112	16
14	C ₂₃ H ₂₄ N ₂ O ₄	70.23 70.39	6.23 6.16	392 392	0.55	144	23
15	C ₂₄ H ₂₆ N ₂ O ₄	70.84 70.92	6.42 6.40	406 406	0.75	95	20
16	C ₁₉ H ₂₄ N ₂ O ₅	63.23 63.32	6.78 6.71	360 360	0.42	154	27
17	C ₁₇ H ₂₀ N ₂ O ₄	64.42 64.54	6.43 6.37	316 316	0.56	72	19
18	C ₁₈ H ₂₂ N ₂ O ₄	65.29 65.44	6.76 6.71	330 330	0.60	78	55
19	C ₂₂ H ₂₂ N ₂ O ₄	69.75 69.83	5.84 5.86	378 378	0.58	143.5	40
20	C ₂₃ H ₂₄ N ₂ O ₄	70.30 70.39	6.20 6.16	392 392	0.63	76	21
21	C ₁₈ H ₂₂ N ₂ O ₄	65.36 65.44	6.80 6.71	330 330	0.68	70	34
22	C ₁₉ H ₂₄ N ₂ O ₄	66.14 66.26	7.09 7.02	344 344	0.45	87	40
23	C ₁₇ H ₁₈ N ₂ O ₃	68.09 68.44	6.42 6.08	298 298	0.45	245	81
24	C ₁₈ H ₂₀ N ₂ O ₃	68.70 69.21	6.93 6.45	312 312	0.62	172	66
25	C ₂₁ H ₁₈ N ₂ O ₃	72.56 72.82	5.48 5.24	346 346	0.63	258	57
26	C ₂₂ H ₂₀ N ₂ O ₃	73.14 73.32	5.71 5.59	360 360	0.43	121	40
27	C ₁₇ H ₁₈ N ₂ O ₄	64.48 64.96	6.28 5.77	314 314	0.54	260	69
28	C ₁₅ H ₁₄ N ₂ O ₃	66.35 66.66	5.41 5.22	270 270	0.60	282	23
29	C ₁₆ H ₁₆ N ₂ O ₃	67.13 67.59	5.95 5.67	284 284	0.53	232	41
30	C ₂₀ H ₁₆ N ₂ O ₃	72.03 72.28	5.09 4.85	332 332	0.37	257.5	76
31	C ₂₁ H ₁₈ N ₂ O ₃	72.45 72.82	5.51 5.24	346 346	0.52	176	95
32	C ₁₆ H ₁₆ N ₂ O ₃	67.41 67.59	5.79 5.67	284 284	0.54	290	84
33	C ₁₇ H ₁₈ N ₂ O ₃	67.95 68.44	6.48 6.08	298 298	0.43	219	54

* Системы: бензол (12–15, 19, 20, 22), бензол–этилацетат, 5:1 (16, 21), бензол–этилацетат, 3:1 (17, 18), этилацетат (23, 24, 30, 31); этилацетат – следы метанола (25, 27, 29, 32, 33), бензол–этилацетат, 1:1 (26), этилацетат–метанол, 10:1 (28).

** Растворители: бензол–петролейный эфир (12, 14–16, 19, 21), петролейный эфир (13, 17, 18, 20, 22), бензол–этилацетат (23) и спирт (24–33).

ИК спектры продуктов циклизации 23–33 несколько отличаются от спектров исходных соединений 12–22. И если область полосы поглощения свободной этоксикарбонильной группы в пирролохинолинах остается практически без изменений (1705–1728), то следующие полосы, в отличие

от енаминов, сдвигаются примерно на 30 см⁻¹ в область более коротких волн. В области 1614–1627 проявляются валентные колебания γ -хиноловой карбонильной группы, а при 1566–1592 см⁻¹ – колебания ароматических двойных связей в пиридиновой и бензольной части молекул пирролохинолинов.

Таким образом, в реакциях замещенных 5-аминоиндололов с щавелевоуксусным эфиром получена серия новых соединений, представляющих фармакологический интерес – производных диэтилового эфира 5-аминоиндолилфумаровой кислоты, которые термически циклизуются по положению 4 индольной молекулы, независимо от наличия у некоторых моделей двух альтернативных *ортого*-положений для циклизации и отсутствия заместителя в положении 3. На основе этих процессов разработан новый способ синтеза 7-этоксикарбонил-6,9-дигидро-3Н-пирроло-[3,2-*f*]-хинолин-9-онов, ранее неизвестных аналогов витамина PQQ.

ЭКСПЕРИМЕНТАЛЬНАЯ ЧАСТЬ

Спектры ЯМР ¹H записаны на приборе Bruker DRX-500 (500 МГц) в ДМСО-d₆ относительно ТМС. ИК спектры зарегистрированы на приборе Unititled Spektrum в таблетках КВг. Масс-спектры получены на масс-спектрометре Finnigan MAT Incos-50 с прямым вводом образца в ионный источник при энергии ионизации 70 эВ. УФ спектры зарегистрированы на спектрофотометре Specord в этаноле. Очистку продуктов реакции проводили методом колоночной хроматографии на Al₂O₃ (нейтральная, I и II ст. акт. по Брокману). Контроль за ходом реакций, чистотой полученных соединений и определение *R*_f осуществлялись с помощью ТСХ на пластинках Silufol UV-254. Выходы, константы и данные элементных анализов синтезированных соединений приведены в табл. 3.

Диэтиловый эфир (5-амино-2,3,6-триметил-1Н-индолил)фумаровой кислоты (12). Смесь 0.4 г (2.30 ммоль) 5-амино-2,3,6-триметилиндола (**1**) и 0.8 г (4.26 ммоль) щавелевоуксусного эфира кипятят 25 ч в 300 мл абсолютного бензола в присутствии катализического количества ледяной AcOH с насадкой Дина–Старка. После того, как весь аминоиндол вступил в реакцию (хроматографический контроль), бензол отгоняют. Енамин растворяют в кипящей смеси бензол–петролейный эфир, 3:1, и пропускают через слой Al₂O₃, растворитель отгоняют. Выход 0.49 г.

Диэтиловый эфир (5-амино-1,2,3,6-тетраметил-1Н-индолил)фумаровой кислоты (13) получают аналогично из 0.8 г (4.26 ммоль) 5-амино-1,2,3,6-тетраметилиндола (**2**) и 0.8 г (4.26 ммоль) щавелевоуксусного эфира, нагревают 64 ч. Выход 0.25 г.

Диэтиловый эфир (5-амино-6-метил-2-фенил-1Н-индолил)фумаровой кислоты (14) получают аналогично из 0.5 г (2.25 ммоль) 5-амино-6-метил-2-фенилиндола (**3**) и 1 г (5.32 ммоль) щавелевоуксусного эфира, нагревают 33 ч. Выход 0.20 г.

Диэтиловый эфир (5-амино-1,6-диметил-2-фенил-1Н-индолил)фумаровой кислоты (15) получают аналогично из 0.6 г (2.54 ммоль) 5-амино-1,6-диметил-2-фенилиндола (**4**) и 0.8 г (4.26 ммоль) щавелевоуксусного эфира, нагревают 40 ч. Выход 0.21 г.

Диэтиловый эфир (5-амино-2,3-диметил-6-метокси-1Н-индолил)фумаровой кислоты (16) получают аналогично из 0.5 г (2.63 ммоль) 5-амино-2,3-диметил-6-метоксииндола (**5**) и 0.9 г (4.79 ммоль) щавелевоуксусного эфира. Нагревание ведут 29 ч. Выход 0.25 г.

Диэтиловый эфир (5-амино-2-метил-1Н-индолил)фумаровой кислоты (17) получают аналогично из 0.5 г (3.425 ммоль) 5-амино-2-метилиндола (**6**) и 0.66 г (3.51 ммоль) щавелевоуксусного эфира, но нагревают 50 ч. Соединение выпадает в осадок в гексане с добавлением диэтилового эфира. Выход 0.21 г.

Диэтиловый эфир (5-амино-1,2-диметил-1Н-индолил)фумаровой кислоты (18) получают аналогично из 0.45 г (2.81 ммоль) 5-амино-1,2-диметилиндола (**7**) и 0.55 г (2.92 ммоль) щавелевоуксусного эфира, нагревают 53 ч. Соединение выпадает в осадок в гексане с добавлением диэтилового эфира. Выход 0.506 г.

Диэтиловый эфир (5-амино-2-фенил-1Н-индолил)фумаровой кислоты (19) получают аналогично из 0.5 г (2.40 ммоль) 5-амино-2-фенилиндола (**8**) и 0.5 г (2.66 ммоль) щавелевоуксусного эфира. Нагревание ведут 27 ч. Выход 0.36 г.

Диэтиловый эфир (5-амино-1-метил-2-фенил-1Н-индолил)фумаровой кислоты (20) получают аналогично из 0.6 г (2.70 ммоль) 5-амино-1-метил-2-фенилиндола (9) и 1 г (5.32 ммоль) щавелевоуксусного эфира. Нагревание ведут 61 ч. Выход 0.226 г.

Диэтиловый эфир (5-амино-2,3-диметил-1Н-индолил)фумаровой кислоты (21) получают аналогично из 0.5 г (3.125 ммоль) 5-амино-2,3-диметилиндола (10) и 1 г (5.32 ммоль) щавелевоуксусного эфира, нагревают 30 ч. Выход 0.35 г.

Диэтиловый эфир (5-амино-1,2,3-триметил-1Н-индолил)фумаровой кислоты (22) получают аналогично из 0.45 г (2.59 ммоль) 5-амино-1,2,3-триметилиндола (11) и 0.5 г (2.66 ммоль) щавелевоуксусного эфира, нагревают 55 ч. Выход 0.36 г.

1,2,5-Триметил-7-этоксикарбонил-6,9-дигидро-3Н-пирроло[3,2-*f*]хинолин-9-он (23).

В 5 мл дифенила всыпают 0.3 г (0.87 ммоль) енамина 12 и кипятят 15 мин. Еще горячую реакционную смесь выливают в петролейный эфир, выпавший осадок отфильтровывают, многократно промывают петролейным эфиром. Очищают перекристаллизацией из смеси бензол-этилацетат, 1:1. Выход 0.21 г.

1,2,3,5-Тетраметил-7-этоксикарбонил-6,9-дигидро-3Н-пирроло[3,2-*f*]хинолин-9-он (24) получают аналогично из 0.14 г (0.39 ммоль) енамина 13. Очищают перекристаллизацией из спирта. Выход 0.08 г.

5-Метил-2-фенил-7-этоксикарбонил-6,9-дигидро-3Н-пирроло[3,2-*f*]хинолин-9-он (25) получают аналогично из 0.06 г (0.15 ммоль) енамина 14. Выход 0.03 г.

3,5-Диметил-2-фенил-7-этоксикарбонил-6,9-дигидро-3Н-пирроло[3,2-*f*]хинолин-9-он (26) получают аналогично из 0.1 г (0.25 ммоль) енамина 15. Выход 0.036 г.

1,2-Диметил-5-метокси-7-этоксикарбонил-6,9-дигидро-3Н-пирроло[3,2-*f*]хинолин-9-он (27) получают аналогично из 0.15 г (0.42 ммоль) енамина 16, нагревают 30 мин. Выход 0.09 г.

2-Метил-7-этоксикарбонил-6,9-дигидро-3Н-пирроло[3,2-*f*]хинолин-9-он (28) получают аналогично из 0.2 г (0.63 ммоль) енамина 17. Выход 0.04 г.

2,3-Диметил-7-этоксикарбонил-6,9-дигидро-3Н-пирроло[3,2-*f*]хинолин-9-он (29) получают аналогично из 0.4 г (1.21 ммоль) енамина 18. Выход 0.14 г.

2-Фенил-7-этоксикарбонил-6,9-дигидро-3Н-пирроло[3,2-*f*]хинолин-9-он (30) получают аналогично из 0.21 г (0.55 ммоль) енамина 19. Выход 0.14 г.

3-Метил-2-фенил-7-этоксикарбонил-6,9-дигидро-3Н-пирроло[3,2-*f*]хинолин-9-он (31) получают аналогично из 0.19 г (0.48 ммоль) енамина 20. Выход 0.16 г.

1,2-Диметил-7-этоксикарбонил-6,9-дигидро-3Н-пирроло[3,2-*f*]хинолин-9-он (32) получают аналогично из 0.29 г (0.88 ммоль) енамина 21. Выход 0.21 г.

1,2,3-Триметил-7-этоксикарбонил-6,9-дигидро-3Н-пирроло[3,2-*f*]хинолин-9-он (33) получают аналогично из 0.26 г (0.76 ммоль) енамина 22. Выход 0.122 г.

Работа выполнена при поддержке Программы Министерства образования и науки РФ "Развитие научного потенциала высшей школы (2006–2008 гг.)" (РНП 2.1.1.7708).

СПИСОК ЛИТЕРАТУРЫ

1. С. А. Ямашкин, М. А. Юровская, *XГС*, 1587 (2001). [*Chem. Heterocycl. Comp.*, **37**, 1439 (2001)].
2. Z. Zhang, L. M. V. Tillekeratne, R. A. Hudson, *Synthesis*, 377 (1996).
3. С. А. Ямашкин, И. В. Трушков, О. Б. Томилин, И. И. Терехин, М. А. Юровская, *XГС*, 1223 (1998). [*Chem. Heterocycl. Comp.*, **34**, 1050 (1998)].
4. С. А. Ямашкин, О. Б. Томилин, О. В. Бояркин, *XГС*, 1525 (2003). [*Chem. Heterocycl. Comp.*, **39**, 1343 (2003)].

Мордовский государственный университет
им. Н. П. Огарева, Саранск 430000, Россия
e-mail: biotech@moris.ru

Поступило 17.02.2006